

開水路中への投入汚濁液の拡散挙動

金沢工業大学 正会員 中川武夫
金沢工業大学 正会員 山本隆彦
金沢工業大学 正会員 今井悟

1. はじめに

開水路中へ汚濁液が投入されたとき、これらの汚濁粒子はたとえ方程式の空間的位置と速度を変えてから流れによって下流へと運ばれる。このような拡散(Diffusion)と移流(Convection)とからなる非定常な粒子の運動形態を一般に分散(Dispersion)と呼ぶ。今までにも開水路中の分散問題多くの研究者により取り扱われてきたが、そのうちの大部分は Taylor(1921)が提案した一次元分散方程式が適用できる範囲内の議論に終始してきたようである。具体的には、一次元分散方程式中の係数の分散係数の値の評価(Taylor 1921, Elder 1959, Fischer 1967)や、一次元分散方程式を拡張して河床あるいは側岸に形成される死水域(Dead zone)への汚濁液の捕捉(Trapping)と再循環(Re-entrainment)効果(Valentine & Wood 1977, Petersen 1977, Thackton & Schnelle 1970 Sabol & Nordin 1978)を中心としたのが主な研究テーマであった。ところが、McQuivey & Keefer(1976)による指摘を除くまでもなく、ここで取り上げる開水路中への投入汚濁液の拡散のように、より実際的興味のある分散の問題、あるいは過去に他の研究者により実験と比較的大きい河川中の分散実験を一次元的ではなく多元的には無理が多い。實際、このような場合には汚濁液投入点からの距離 x が、McQuivey & Keefer(1976)が定義した次の条件

$$x < 1.8 \cdot l^2 U / R U_*$$

を満たす場合に限り開水路中の汚濁液の拡散挙動が重要となる。ここで l は水路半幅、 U は断面平均速度、 R は径深として U_* はせん断速度である。Fischer(1967)は式を表わす了範囲内の分散の初期段階を移流期間(Convective period)と呼ぶ。この期間内では一次元の分散方程式は適用できないと言ふべきである。この移流期間内の拡散挙動が開水路中の汚濁液の投入の問題で第一義的に重要であることを指摘するには、投入直後に水路中の汚濁濃度が最大値を示し以後、急速にその濃度が減少すると言ふことができるであろう。また、移流期間内では各水路断面内での混合が完了していない汚濁液の拡散現象は本質的に三次元的である。

開水路(あるいは河川)へ汚濁液を投入する必要が我々の日常生活における多くあり、工業あるいは農業を含む際にも必ずしも生じるが従来、大部分の場合にこれら汚濁液は無害、無作為に水路内へ投入されてきたようである。著者らの知る限りで、汚濁液の最初投入位置の選定に関する系統的な論じた論文は存在しないが、この問題を部分的に論じたものとして Smith(1982)と Yotsukura & Cobb(1972)の論文がある。前者の論文では側岸附近が高濃度となることを防ぐことが要求された場合の汚濁液投入位置について論じ、一方、後者の論文では投入された汚濁液の混合を最短時間内に完了させることが要求された場合の汚濁液投入位置について論じてある。以上の例から明らかなように、汚濁液の最初投入位置は二加以上で水質汚濁被害を免れた生物系の要求に著しく依存する。

本論文では水路平面形状が直線部、かん曲部そして直角直線部へと変化する水深に対して幅が 15 度の裏河川内に設置した実験水路において、水路幅方向の代表的 3 点すなわち、右岸、水路中央及び左岸の水面直上からの汚濁液の瞬間投入実験を行ない各汚濁液の水路直線部とかん曲部における拡散挙動及び二つの間の相違を明確にする。次に、これらの結果をもとに、環境問題との関連で、汚濁液投入により被害を受けた生物系の要求 1) a) 水質汚濁継続時間の最短化、b) 水路横断面内の最高濃度を極限化すること、c) 左岸

生物系への影響を最小限に抑えようとして、まず (a) 特定の側岸生物系への影響を最小限に抑えようとして、(b) 二種の生物系の各要求を満たす最適な汚濁液投入点と水路幅方向の位置をあらわすために現地で考察を加えた。

2. 実験

実験場所は右翼端、辰巳川河口付近北西方向に流れる高橋川の一部である東側水路に選んだ。東側水路の平面形状は Fig.1 に示したように上流の直線部から右岸部へ繋ぎ、直線部となつている。Photo.1 によると二つの東側水路が下流から上流を望む状況が示されており、左翼上部の又が立って、右翼上部の汚濁液投入点が右岸にある。水路幅約 3.15 m、水深約 0.2 m で水路壁面はコンクリートで固定され、右岸は断面台形水路とわかることができた。右岸部右岸及び左岸外形線は複数半径は半径 1.46 m 及び 50.18 m であった。また、Fig.1 によると、汚濁液投入点での水路横断面から中央軸に沿って流下方向へ測定距離 1.7 m 単位で示してある。以後、汚濁液投入点での水路中央水面上を原点とする右岸座標系により水路内の各点を定義する。汚濁液投入後の断面濃度分布の測定は $x = 5 \text{ m}, 15 \text{ m}, 25 \text{ m}, 35 \text{ m}$ 及び 45 m における各水路断面におけるを行なった。二の測定は、投入汚濁液の最高濃度点が当該水路断面を通過する瞬間に一定深さ $z = -3 \text{ cm}$ で水路幅方向 52 cm 間隔で水路中央軸及右岸を含む 7 点及ぶ水路中央軸上の深度 $z = -17 \text{ cm}$ の点における試料の排水を行なった。試料の排水は一回の汚濁液投入に対して下流の一断面を容量約 31.7 cm^3 外径 3.0 cm、内径 2.6 cm、深さ 6.1 cm の円筒形容器を使用して行った。また同時に、汚濁液投入後よりの最高濃度点が流下方向の各断面に到達するまでの時間 (ストップウォッチ) を測定した。濃度測定断面での水深の測定は 1 mm 単位まで読み取り可能で直前の排水用の水路幅方向 $= 10 \text{ cm}$ 間隔で行ない、流速の測定には直径 10 cm のプロペラ流速計を用いて深さ $z = -5 \text{ cm}$ 及び -15 cm における水路幅方向 $= 20 \text{ cm}$ 間隔で行なった。一方、水路中央軸上で深さ $z = -5 \text{ cm}, -9 \text{ cm}, -12 \text{ cm}$ 及び -15 cm の計 4 点での流速測定を行なった。汚濁液の投入方法は水路中央、右岸及び左岸の水面直上から瞬間的 (Instantaneous point source) とした。左岸、奥深に投入した汚濁液は 17 cm^3 の水による 1 g 程度濃がって Table 1 に示したような濃度の汚濁液である。排水した試料の濃度分析は分光光度計 (TASCO, UVIDECH-1) を用いて半光吸度を求め、消光系数 ϵ と吸光度 A から $\text{C} = \epsilon A / \log_{10}(1 + e^{-A})$ の式より濃度を求めた。

また、奥深に汚濁液を投入した直後の汚濁液の拡散運動を可視化写真撮影により観察した。例として Photo.2 は汚濁液を水路中央水面上から投入した直後の汚濁液の状況を示している。

3. 汚濁結果及考察

Figs.2 (a), (b) 及び (c) に示され、 $x = 5 \text{ m}, 25 \text{ m}$ 及び 45 m における水路断面形状を示した。Figs.3 (a), (b) 及び (c) には二種の断面での流速分布を示した。二二二、 $\times \times \times$ 、印 \square 、印 \triangle 、印 \circ 、印 \diamond 半径 $z = -5 \text{ cm}$ 及び $z = -15 \text{ cm}$ での測定値である。また、二種の断面水路中央軸を直に切る断面内の流速分布が示してある。Fig.2 および、二の東側水路の断面形状はほぼ一様な断面台形水路であることを示すことができる。Fig.3 (a) に示した流速分布は、 $x = 5 \text{ m}$ の断面付近右岸部上流直線部にあたる、水路中央軸を中心として左岸右岸対称分布となっており、二れに付して、Fig.3 (b) に示した $x = 25 \text{ m}$ の断面での流速分布は、二の断面付近右岸部中央にあたる、一水路断面内の最大流速点が定義された流速が水路中央軸から左岸寄りにずれた左岸非対称分布となっており、 $x = 35 \text{ m}$ 及び Fig.3 (a) に示した $x = 45 \text{ m}$ の断面での流速分布は、二の断面付近右岸部直線部にあたる直前に Fig.3 (a) の流速分布と同様に水路中央軸を中心として左岸寄り左岸対称分布となっており、Table 1 は各東側水路の汚濁液投入点、汚濁液 (オーダーミニ B 液) 濃度、汚濁液投入断面から濃度測定断面までの距離、汚濁液投入点の最高濃度点と各断面に到達するまでの時間、平均流速、せん断速度、平均水深、水温、レイノルズ数及びフルード数を示した。二の表

であるが右岸にリバーレイナル大数、フルード数のよう各水理量については実験相違の間で大きな差はなかった。中央投入、汚濁液が水路幅方向へ投入位置と汚濁液投入が最高濃度点が各断面に到達するまでの時間との間に關係に注目したところだ。例えば、中央投入の場合の臭酸E1の汚濁液最高濃度点が $x = 5\text{ m}$ の断面に到達するまでの時間4.2秒の方が、右岸投入の場合では臭酸E2の汚濁液最高濃度点が $x = 5\text{ m}$ の断面に到達するまでの時間4.8秒より短いことがわかった。同様に、對於了臭酸の組、E3 × E4、E5 × E6、E7、E8 及び E9、E10、E11及び E12 において中央投入の場合と側岸投入の場合の汚濁液最高濃度点が下流の各断面に到達するまでの所要時間も比較した。常に中央投入の場合の所要時間が方が側岸投入の場合より短いことがわかった。すなわち、中央投入の方が側岸投入より、汚濁液を下流入す時間が流れ去了るのに遅いことはないことがわかった。

Table 2 によれば、否臭酸E2の濃度測定結果を ppm 単位で示した。この表中、ガラス由の数値は Table 1 に示したように、投入前の汚濁液濃度が臭酸E2に果たした臭酸相間の比較尽可能に才了たが、投入前の汚濁液濃度はローダミンB 1 g を 17 cm^3 の水に溶かして生じた溶液の濃度に相当才了。すなわち、以下の濃度測定結果を示す限り全工の換算濃度がアロットされた。

Figs.4 (a) - (e) によれば、汚濁液を水路中央、右岸及び左岸から投入したときの下流の $x = 5\text{ m}, 15\text{ m}, 25\text{ m}, 35\text{ m}$ 及び 45 m の各断面における濃度分布を示す。Fig.4(a) は $x = 5\text{ m}$ の断面における濃度分布を示すが、中央投入の場合には水路中央付近の幅が狭く狭く、左岸付近では左岸投入の場合よりやや幅が広く、幅の分布が左岸側へ。Fig.4(b) は $x = 15\text{ m}$ の断面における濃度分布を示すが、二の断面まで右岸側内にあたる主流に左岸側に偏り、中央投入の場合の最高濃度点が水路中央付近の左岸側へ 15 cm 程度ずれこむ。一方、右岸投入の場合の最高濃度点は右岸から水路中央寄りの 52 cm 付近にあたる。二の右岸投入の場合の最高濃度点の移動の原因は、流心のずれに加えて、側岸近くの流速の遅い領域内に汚濁液が滞留するより遅い水路中央部の流れに下り進行(Entrainment) したところと考えられた。また、汚濁液が $x = 5\text{ m}$ から $x = 15\text{ m}$ の断面に至る間に、最高濃度の減少及び濃度分布幅の増加を観察し得た。Fig.4(c) は $x = 25\text{ m}$ の断面における濃度分布を示すが、二の断面まで主流のずれの複合が左岸に増した結果、中央投入の場合の最高濃度点は水路中央から左岸側へ約 55 cm ずれこむ。一方、右岸投入の場合の最高濃度点は右岸から 62 cm 付近にあたる。さらに、汚濁液が $x = 15\text{ m}$ から $x = 25\text{ m}$ の断面に至る間に右岸側濃度は $1/3$ 程度減少したが、右岸側分布幅に關してはほとんど変化が認められなかった。Fig.4(d) は $x = 35\text{ m}$ の断面における濃度分布を示す。二の断面まで右岸側へ終末端に近い位置にあたるが、主流の左岸側へのずれが水路中央へ戻る引き戻しめた結果、中央投入の場合の最高濃度点が水路中央付近に左岸へ 52 cm ずれこむ。Fig.4(e) は $x = 45\text{ m}$ の断面における濃度分布を示す。二の断面まで右岸側へ続く直線部にあたる中央投入の場合の最高濃度点は水路中央付近にあり、右岸及び左岸投入の場合と左岸側の岸から水路中央へ 52 cm 程度入った点が最高濃度点である。また、汚濁液が $x = 25\text{ m}$ から $x = 45\text{ m}$ の断面に至る間に右岸側の最高濃度の減少及び濃度分布幅の増加が $x = 25\text{ m}$ 上り上流の場合に比して緩慢に才てこむ。すなわち、Figs.4 (a) - (e) によれば濃度分布幅が左岸分布位置は汚濁液の最高濃度点が各断面に通過する時間の経過に随伴して左岸側濃度が高くなる傾向が見られた。また、Fig.4 (a) - (e) から各断面ごとの側岸投入の場合の最高濃度が中央投入の場合と比べて比較才て、常に前者の方が低くなる。すなわち、汚濁液投入点が下流の各断面での最高濃度を極限才てたがって、側岸投入の方が中央投入より濃度が少く差がある。

Fig.5 (a) は汚濁液が中央投入と右岸投入の水路中央軸に沿う濃度変化、水路中央軸から 52 cm 左岸側へすなわち二の中央軸と平行な軸に沿う濃度変化及び水路中央軸から 52 cm 右岸側へすなわち中央軸と平行な軸に沿う濃度変化を示した。二本の三つの軸に沿う濃度を比較したところ $0\text{ m} \leq x \leq 20\text{ m}$ の範囲では水路中央付近の最高濃度点が右岸から $20\text{ m} \leq x \leq 30\text{ m}$ の範囲では最高濃度点は水路中央から左岸側にすなわち

量にあたるべく努力した。さしに、 $x \geq 30 m$ の範囲では最高濃度点が水路中央軸付近に到達せざる事なく、 $x = 25 m$ 付近まで他の二つの軸に沿う濃度に比較して非常な低さを示すが、二本下り下流の川へと進むにつれて徐々に増加し、反対側の水路中央軸は、 $52 cm$ 左岸側へオホカ軸に沿う濃度に近づいた。既に指摘したが Fig.5 (a) で明白に認めたところを $20 m \leq x \leq 30 m$ の範囲での濃度分布の左岸側への偏りが生じて、水路や人間部の流心の偏りが確認できたのである。一方で、開水路内へ投入せず汚濁液が流心跡跡に集中する傾向があつたことがわかった。これがつゝ、汚濁液が水路中央軸付近投入した場合の下流各断面での最高濃度点は水路中心軸に關して左右対称な直線水路の場合に水路中央部にあたる部分で航行水路あつた水路平面形状に付いても清下流航行 (Nakagawa & Hotsuta 1982, Nakagawa 1982) でしてこの水路内に付ける最高濃度点は流心の跡跡上にあつて居たのである。

Fig.5 (b) は右岸投入の場合について右岸内壁面に沿う軸上の濃度変化、右岸が $52 cm$ 及び $104 cm$ 水路内方へオホカ右岸内壁面に沿う軸上平行軸に沿う濃度変化が示してある。二本の三つの軸に沿う濃度に比較して二つほど多く、 $0 m < x \leq 11.5 m$ の範囲において、右岸に沿う軸付近に最高濃度点があつたが、二本下り下流の $x \geq 11.5 m$ の範囲では右岸が $52 cm$ 水路内方へオホカ軸付近に最高濃度点があつた。さしに、 $x \geq 15 m$ の範囲では右岸が $104 cm$ 水路内方へオホカ軸上の濃度が右岸に沿う軸上のそれより遙かに大き了。一方で、 $x \geq 15 m$ の範囲では、二本の三つの軸に沿う濃度の大小関係は右岸が $52 cm$ の軸上に最大となり、以降右岸が $104 cm$ の軸上、右岸に沿う軸上の順になつた。Fig.5 (c) は左岸投入の場合について、左岸内壁面に沿う軸上の濃度変化、左岸が $52 cm$ 及び $104 cm$ 水路内方へオホカ左岸内壁面に沿う軸上平行軸に沿う濃度変化が示してある。この圖に示す $x > 35 m$ の範囲では、二本の三つの軸に沿う濃度の大小関係は左岸が $52 cm$ の軸上に最大となり、以後左岸が $104 cm$ の軸上、左岸に沿う軸上の順になつた。一方で、Figs.5 (b) & (c) の左側岸から投入せず汚濁液の最高濃度点があつたのが明瞭かつた。畢竟、側岸投入せず汚濁液の影響が流心を横切って対岸へと進むことは本実験の流下方向距離範囲約 100 m 内で十分がた。さしに、汚濁液は二つ以上の長い距離流下する間、混合作用により稀和され、二つ以上の相、つまり、比較的広い川幅を有する川の岸から汚濁液を投入する場合に才対岸への影響が考慮する必要があることを可能視せんとした。一方で、一方の岸への汚濁液の影響が許せば、対岸に生息する生物系への汚濁液による影響を極限の下で場合に該道の汚濁液の投入点が前の汚濁液の影響が許せば側の岸であるランダムに有るわけである。

最後に、対岸への汚濁液の混入の状況について述べ、Table 2 に示した水路中央軸に沿う距離 $x=0$ 、中央軸 $y=0$ 直下の 2 点 $z=-3 cm$ 及び $z=-17 cm$ における濃度の違いを比較した二二つの距離 x の範囲内における対岸方向の混合は未だ見られず、二つともあつた。例えは、実験 E 1 の場合の $x=5 m$ の断面内では水面直下 $z=-3 cm$ の点での濃度が $12.4 ppm$ であつたに対し、河床附近 $z=-17 cm$ の点での濃度は検知不能がた。 $x=3 m$ の実験 E 3 の場合の $x=15 m$ の断面内では $z=-3 cm$ の点での濃度が $4.8 ppm$ であつたに対し、 $z=-17 cm$ の濃度が $5.3 ppm$ であり実験 E 1 の場合と同様に河床近くの濃度が方々水面近くの濃度より大きくなつた。さしに、実験 E 5 の場合の $x=25 m$ の断面内では前述のようにならぬ左岸側へ近寄る $x=25 m$ の濃度が $0.7 ppm$ であつたのに對し、 $z=-17 cm$ の濃度が検知不能がた。 $x=25 m$ の実験 E 7 の $x=35 m$ の断面内では左岸が最も濃度が $1.4 ppm$ であつたために對し、 $z=-17 cm$ の濃度が $0.6 ppm$ を示した。さしに、実験 E 10 の $x=45 m$ の断面内では河床直下の濃度差より小さくなつた。一方で、 $x=45 m$ の断面内の対岸混合の $x=35 m$ の

断面の方向より進んでしまったことを示している。以上のより、流下方向への距離 x の增加に伴う τ を投入汚濁液の垂直混合半径 r と促進させたもので、本実験の流下距離範囲においては垂直混合半径 r は $1.2 \sim 1.8$ mと考えた。

4. 結論

水深に対する幅が 15 度の開水路中へ投入汚濁液の、しかも移流初期における拡散運動に関する二つの研究を通じて得られた主な知見を以下に要約する。

- 汚濁液の最高濃度点が当り投入断面から下流の各断面に到達するまでの所要時間は 1~2 分。中央投入の場合の所要時間は側岸投入の場合より短いことが明らかになった。また一般に、汚濁液投入によって水路内の水質汚濁継続時間は最も短い柳生川の場合、流下距離上に汚濁液を投入するほど長いこと、汚濁液を側岸から投入するほど長いことである。
- 汚濁液投入点が下流の各断面に及ぼす最高濃度の値は 1~2 分、側岸投入の場合の最高濃度の値が中央投入の場合のそれより短い。したがって、汚濁液投入点が下流の各断面において最高濃度を極限付ける以上、汚濁液を側岸から投入するほど長いことである。
- 開水路中へ投入された汚濁液は流下軌跡に集中する傾向が顕著であることが認められた。又上記、中央投入の場合より下流の各断面に及ぼす最高濃度点は通常流下軌跡上にあたる付近で最高濃度群は水路中央部に限らずかくらが明瞭かなかった。したがって、水路両岸の生物系への影響を最小限に抑える場合、下流一部へ汚濁液を投入するほど長いことである。
- 一方側岸から投入された汚濁液の影響が流下軌跡上に現れ、付岸付近では多くは、長い流下距離が必要とすることが明らかになった。したがって、投入汚濁液による付岸の生物系への影響を最小限に抑える場合、付岸から投入するほど長いことが望ましい。

以上、二つめ開水路中へ汚濁液投入に対する工被害を及ぼす生物系の要求が唯一一个の場合の限ること、当該投入点における議論したが、生物系の要求が二つ以上の場合は上に得られた主な知見を基礎に類似の議論を行うことが可能である。

5. 謝辞

本研究の遂行にあたりては、金沢工業大学土木工学科・木村敏泰教授、木村研究室の教員、学生諸君、及び金沢工业大学土木工学科学生・長谷川勝也君に多大の援助をいただいた。二つめ、Y. H. Fischer 氏に付託し、感謝之意を表する次第である。

6. 参考文献

1. Elder, J.W.: The dispersion of marked fluid in turbulent shear flow. J. Fluid Mech., 5, 544-560(1959).
2. Fischer, H.B.: The mechanics of dispersion in natural streams. Proc. ASCE, HY. 6, 187-216(1967).
3. McQuivey, R.S. & Keefer, T.N.: Dispersion-Mississippi river below Baton Rouge, La. Proc. ASCE, HY 10, 1425-1437(1976).
4. Nakagawa, T. & Hotsuta, M.: Boundary effects on meandering stream and river morphology, Proc. of 26th Japanese Conf. on Hydraulics, 45-50(1982)(in Japanese).
5. Nakagawa, T.: Boundary effects on stream meandering and river morphology, Sedimentology(1982)(in press).
6. Petersen, F.B.: Prediction of longitudinal dispersion in natural streams. Series paper 14, Institute of Hydrodynamics and Hydraulic Engineering, Technical University of Denmark, Copenhagen, Denmark, 69(1977).
7. Sabol, G.V. & Nordin, C.F.: Dispersion in rivers as related to storage zones. Proc. ASCE, HY. 5, 695-708(1978).
8. Smith, R.: The importance of discharge siting upon contaminant dispersion in narrow rivers and estuaries.

9. Smith, R.: Where to put a steady discharge in a river. *J. Fluid Mech.*, 115, 1-11(1982).
 10. Taylor, G.I.: Diffusion by continuous movements. *Proc. Math. Soc., London*, A.20, 196-211(1921).
 11. Taylor, G.I.: Dispersion of soluble matter in solvent flowing slowly through a tube. *Proc. Roy. Soc., London*, A.219, 186-203(1953).
 12. Taylor, G.I.: The dispersion of matter in turbulent flow through a pipe. *Proc. Roy. Soc., London*, A.223, 446-468(1954).
 13. Thackston, E.L. & Schnelle, K.B. Jr.: Predicting effects of dead zones on stream mixing. *Proc. ASCE, SA.2*, 319-331(1970).
 14. Valentine, E.M. & Wood, I.R.: Longitudinal dispersion with dead zones. *Proc. ASCE, HY.9*, 975-989(1977).
 15. Yotsukura, N. & Cobb, E.D.: Transverse diffusion of solutions in natural streams. *U.S. Geophy. Survey*

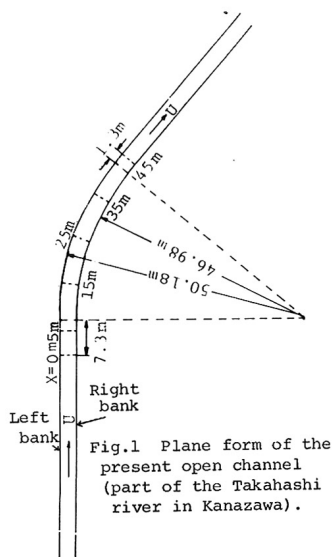


Fig.1 Plane form of the present open channel (part of the Takahashi river in Kanazawa).

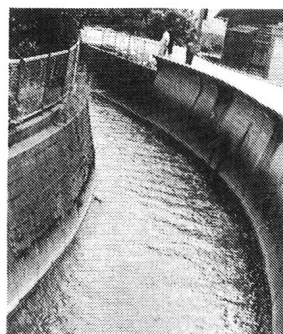


Photo.1 The present open channel viewed from a downstream site.

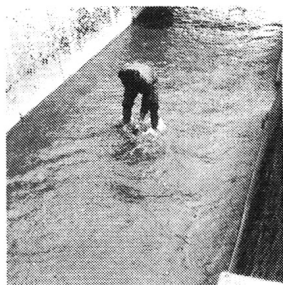


Photo.2 A view just after injecting dye tracer from the channel centre.

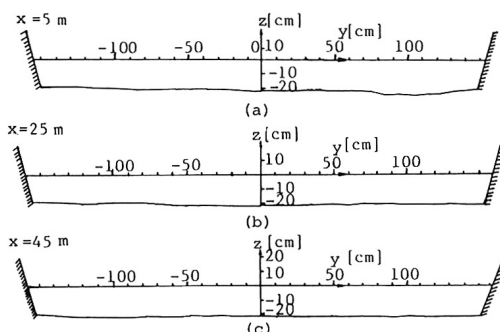


Fig.2 Channel cross sections at each longitudinal distance x .

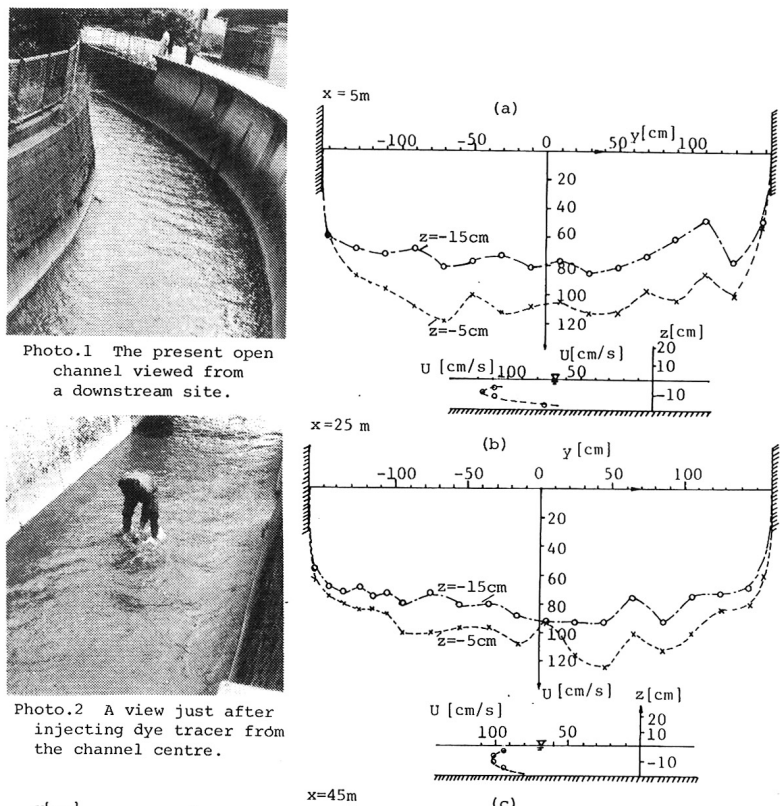


Fig.3 Velocity distributions at different cross sections

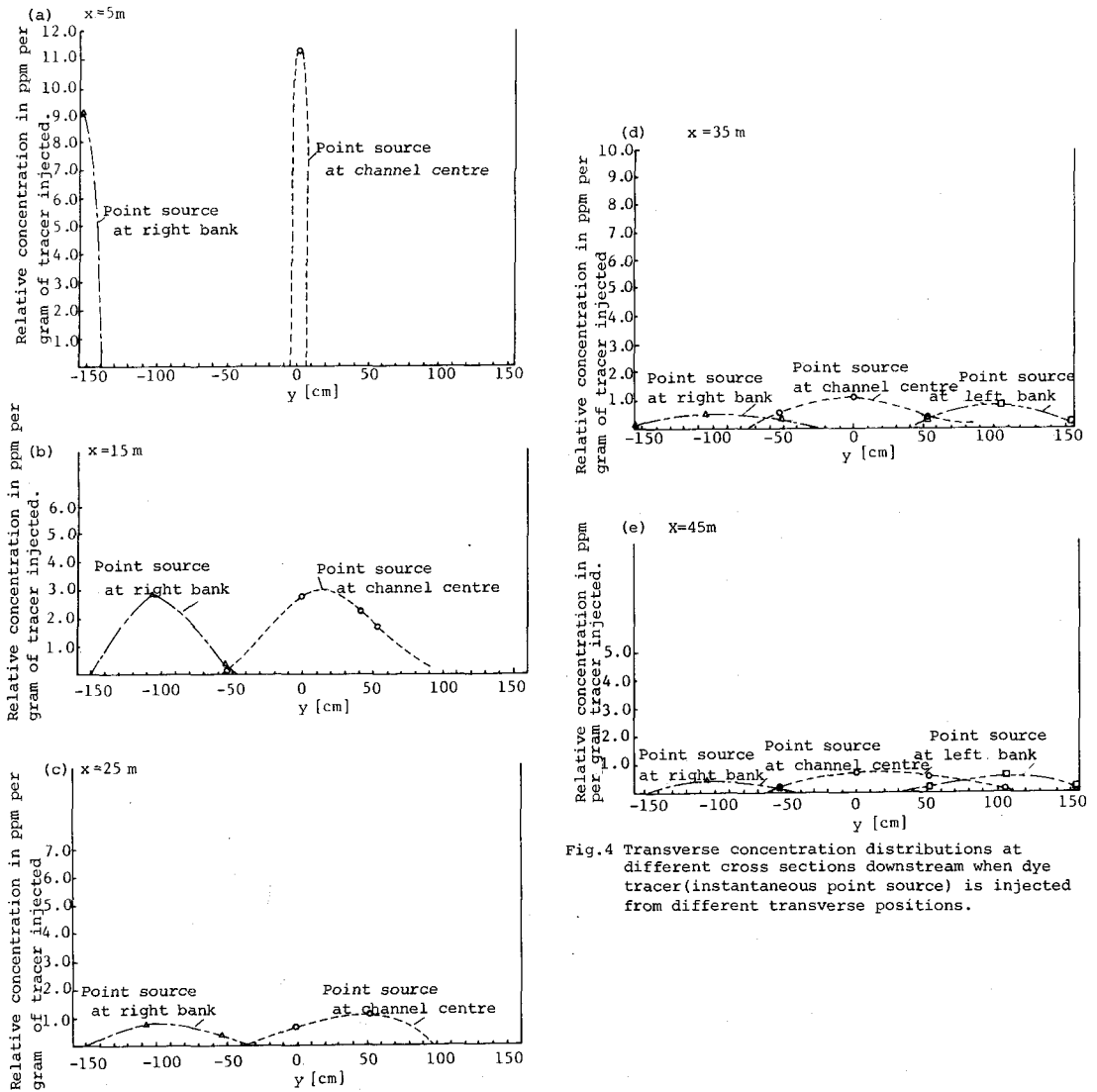


Fig.4 Transverse concentration distributions at different cross sections downstream when dye tracer (instantaneous point source) is injected from different transverse positions.

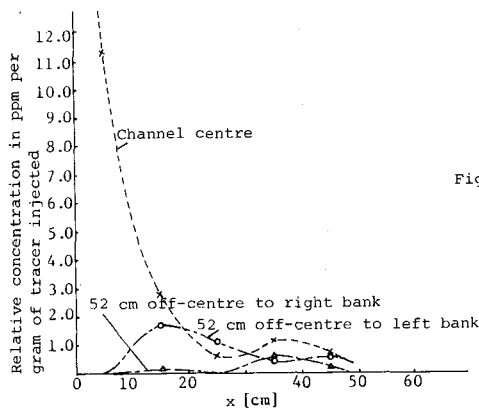


Fig.5 (a) Dye tracer is injected from channel centre and just above water surface.

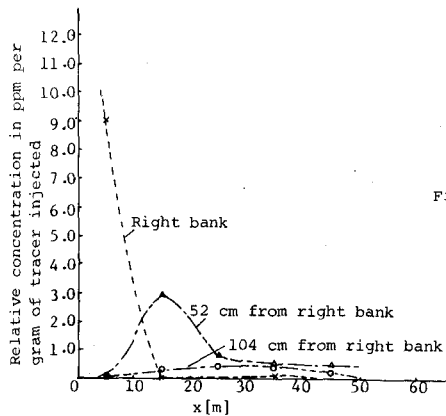


Fig.5 (b) Dye tracer is injected from right bank and just above water surface.

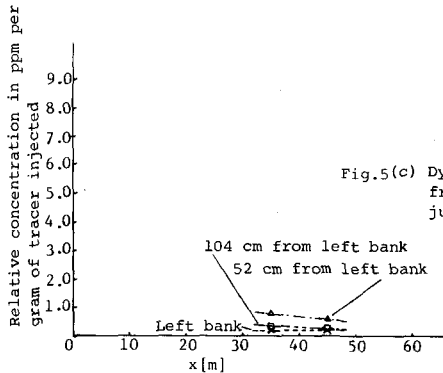


Fig.5(c) Dye tracer is injected from left bank and just above water surface.

Fig.5 Longitudinal concentration distributions along different axes when dye tracer (instantaneous point source) is injected from different transverse positions.

Table 1. Some experimental conditions and results.

Ex.No.	Injection point	Rhodamine B solution [ppm]	Long. Distance x[m]	Max. Conc. arrival time T[s]	Mean velocity U[cm/s]	Shear velocity U_s [cm/s]	Mean depth h[cm]	Water temp. t[°C]	Reynolds number $R = Uh/v$	Froude Number $F = U/\sqrt{gh}$
E1	Centre	4.0×10^{-4}	5	4.2	84.0	2.3	21.8	20.1	1.824×10^5	0.575
E2	R bank	5.5×10^{-4}	5	4.8	84.0	2.3	21.8	20.1	1.824×10^5	0.575
E3	Centre	6.4×10^{-4}	15	11.4	81.6	2.0	20.0	20.1	1.625×10^5	0.583
E4	R bank	5.5×10^{-4}	15	12.3	81.6	2.0	20.0	20.1	1.625×10^5	0.583
E5	Centre	4.2×10^{-4}	25	19.2	86.0	4.6	20.5	20.1	1.756×10^5	0.607
E6	R bank	4.9×10^{-4}	25	22.1	86.0	4.6	20.5	20.1	1.756×10^5	0.607
E7	Centre	4.7×10^{-4}	35	26.8	90.4	2.3	20.5	21.0	1.887×10^5	0.638
E8	R bank	5.7×10^{-4}	35	32.8	90.4	2.3	20.5	21.0	1.887×10^5	0.638
E9	L bank	5.3×10^{-4}	35	30.9	90.4	2.3	20.5	21.0	1.887×10^5	0.638
E10	Centre	4.3×10^{-4}	45	32.8	85.3	4.9	21.1	21.0	1.883×10^5	0.593
E11	R bank	5.6×10^{-4}	45	40.9	85.3	4.9	21.1	21.0	1.883×10^5	0.593
E12	L bank	5.3×10^{-4}	45	43.3	85.3	4.9	21.1	21.0	1.883×10^5	0.593

Table 2. Concentrations at each point. units: ppm. Note each value in () denotes the normalized value.

Ex.No.	x [m]	y [cm]	-155	-104	-52	0	0	52	104	155
			-3	-3	-3	-3	-17	-3	-3	-3
E1	5	0	0	0	12.4(11.3)	0	0	0	0	0
E2	5	13.5(9.1)	0	0	0	0	0	0	0	0
E3	15	0	0	0.1(0.1)	4.8(2.8)	5.3(3.1)	3.0(1.7)	0	0	0
E4	15	0	4.3(2.9)	0.5(0.3)	0	0	0	0	0	0
E5	25	0	0	0	0.7(0.6)	0	1.3(1.1)	0	0	0
E6	25	0	1.0(0.8)	0.6(0.4)	0	0	0	0	0	0
E7	35	0	0	0.7(0.6)	1.4(1.1)	0.6(0.4)	0.5(0.4)	0.2(0.1)	0	0
E8	35	0.2(0.1)	0.8(0.5)	0.6(0.4)	0	0	0	0	0	0
E9	35	0	0	0	0	0	0.4(0.3)	1.2(0.8)	0.3(0.2)	0
E10	45	0	0	0.3(0.2)	0.8(0.7)	0.6(0.5)	0.7(0.6)	0.1(0.1)	0	0
E11	45	0	0.8(0.5)	0.3(0.2)	0	0	0	0	0	0
E12	45	0	0	0	0	0.4(0.2)	0.4(0.2)	0.9(0.6)	0.3(0.2)	0